— ОБЗОРЫ —

УДК 548.3

К 100-летию кафедры кристаллографии Санкт-Петербургского государственного университета

# ТЕРМИЧЕСКАЯ ЭВОЛЮЦИЯ ФОСФАТОВ И СУЛЬФАТОВ С АНТИПЕРОВСКИТОВЫМ ТИПОМ СТРУКТУРЫ (ТЕПЛОВОЕ РАСШИРЕНИЕ, ФАЗОВЫЕ ПЕРЕХОДЫ)

© 2025 г. М. С. Авдонцева<sup>1,\*</sup>, А. А. Золотарев<sup>1</sup>, М. Г. Кржижановская<sup>1</sup>, С. В. Кривовичев<sup>1,2</sup>

<sup>1</sup>Санкт-Петербургский государственный университет, Санкт-Петербург, Россия

<sup>2</sup>Кольский научный центр РАН, Апатиты, Россия

\*E-mail: m.avdontceva@spbu.ru Поступила в редакцию 29.10.2024 г. После доработки 01.12.2024 г. Принята к публикации 01.12.2024

Описано термическое поведение природных и синтетических фосфатов и сульфатов с антиперовскитовым типом структуры, в которой в качестве основной структурной единицы выделяется анион-центрированный октаэдр. Приведены примеры термического поведения антиперовскитов: с классическим и гексагональным трехмерным (3D) каркасом ( $K_3SO_4F$ ,  $Rb_3SO_4F$ , синтетический аналог когаркоита  $Na_3SO_4F$ , галеит  $Na_{15}(SO_4)_5ClF_4$ , шайрерит  $Na_{21}(SO_4)_7ClF_6$ ); с одномерными (1D) цепочками связанных вершинами и гранями октаэдров (накафит  $Na_2CaPO_4F$  и его синтетический диморф, синтетический аналог мораскоита  $Na_2MgPO_4F$ , нефедовит  $Na_5Ca_4(PO_4)_4F$ ); с кластерами в виде тримеров анион-центрированных октаэдров (синтетический аналог арктита  $(Na_5Ca)Ca_6Ba(PO_4)_6F_3$ ). Согласно полученным данным выведены определенные общие закономерности термического расширения в зависимости от структурной топологии и степени термической устойчивости антиперовскитов.

DOI: 10.31857/S0023476125020075, EDN: BYOBEM

### ОГЛАВЛЕНИЕ

Введение

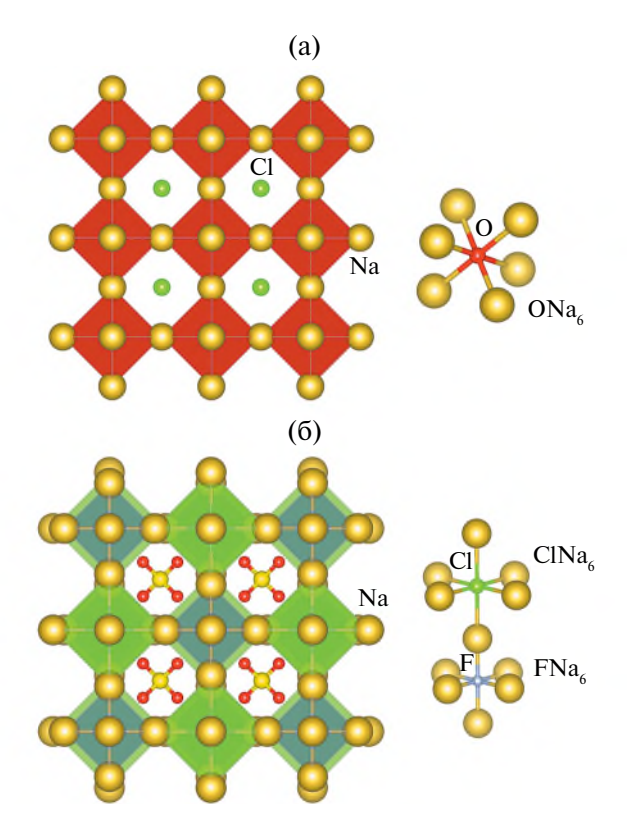
- 1. Образцы и методы
- 2. Термическое поведение некоторых сульфатов и фосфатов с антиперовскитовым типом структуры
- 2.1. Антиперовскиты с "классическим" каркасом на примере  $K_3SO_4F$  и  $Rb_3SO_4F$
- 2.2. Антиперовскиты с гексагональным 3D-каркасом (когаркоит, галеит, шайрерит)
- 2.3. Антиперовскиты с цепочками связанных гранями октаэдров (накафит и его синтетический диморф, мораскоит)
- 2.4. Антиперовскиты с цепочками связанных вершинами октаэдров (нефедовит)
- 2.5. Арктит (один из примеров "разорванных" антиперовскитов)
  - 3. Общие закономерности термического поведения Заключение

### **ВВЕДЕНИЕ**

К антиперовскитам, или обратным перовскитам, относят большую группу неорганических

соединений, куда входят как минералы, так и синтетические соединения крайне разнообразной структурной топологии и химического состава. "Классический" антиперовскит является обратным аналогом "идеального" перовскита  $ABX_3$  (A, B – катионы, X — анион) и отличается наличием каркаса с кубической симметрией, состоящего из октаэдров, связанных общими вершинами. В случае антиперовскитов эти октаэдры центрированы анионами, а не катионами, и общая формула соединения может быть представлена как  $BXA_{3}$ , где B, X – анионы, а А – катион. Для формирования кристаллической структуры подобного типа центральным атомом в октаэдре выступают F, Cl, O, N, а также Br или S. В качестве примера на рис. 1а представлена кристаллическая структура соединения  $Na_3OC1$  [1] ( $Pm\overline{3}m$ , a = 4.538(1) Å, V = 93.470 Å<sup>3</sup>), в основе которой лежит "идеальный" антиперовскитовый каркас, состоящий из связанных общими вершинами оксоцентрированных октаэдров ONa6, в полостях которого располагаются анионы Cl<sup>-</sup>.

Отметим, что в современной литературе термин "антиперовскит" получил более широкое



**Рис. 1.** Кристаллические структуры: Na<sub>3</sub>OCl, октаэдр [ONa<sub>6</sub>] (a); сульфогалита Na<sub>6</sub>(SO<sub>4</sub>)<sub>2</sub>FCl, октаэдры [FNa<sub>6</sub>] и [ClNa<sub>6</sub>] связаны общими вершинами (б).

распространение, и сегодня соединения с анион-центрированными октаэдрами представлены 45 топологическими типами, включающими в себя в качестве основных структурных единиц не только каркасы (3D), но и слои (2D), цепочки (1D) и островные фрагменты (кластеры (0D)) [2]. Часть кристаллических структур данных соединений можно описать как производные от структурного типа галита при условии его рассмотрения на основе связанных вершинами и ребрами октаэдров СINa<sub>6</sub>. Кроме того, объединение анион-центрированных октаэдров в антиперовскитах не ограничивается связями по вершинам, а включает в себя сочленения по ребрам и граням, что значительно увеличивает разнообразие соединений.

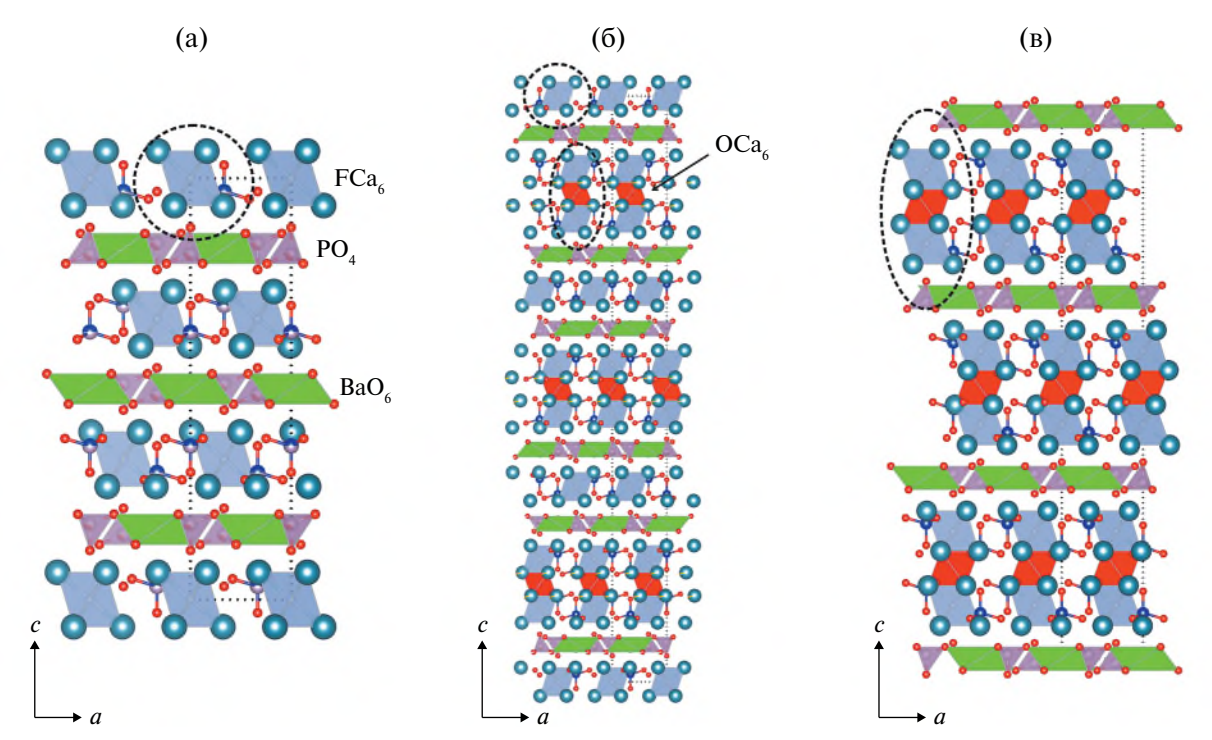
Среди минералов каркас, наиболее приближенный к "идеальному", наблюдается в кристаллической структуре сульфогалита  $Na_6(SO_4)_2FCI$  (рис. 16) [3, 4]. Сульфогалит кристаллизуется в кубической сингонии ( $Fm\overline{3}m$ , a=10.071(3) Å, V=1021.45 ų) и может быть описан как двойной антиперовскит с антиэльпасолитовой структурой, в основе которой лежат чередующиеся октаэдры двух типов:  $[FNa_6]$  и  $[ClNa_6]$ . Октаэдры связаны общими вершинами; в полостях каркаса располагаются тетраэдры  $SO_4$ . Среди природных антиперовскитов встречаются представители и других топологических типов.

Это, например, минералы с гексагональным антиперовскитовым каркасом, состоящим из октаэдров, связанных общими вершинами и гранями (когаркоит  $Na_3SO_4F$ , галеит  $Na_{15}(SO_4)_5ClF_4$ , шайрерит  $Na_{21}(SO_4)_7ClF_6$ ), минералы, в основе кристаллической структуры которых лежат цепочки из связанных гранями (накафит  $Na_2CaPO_4F$ , мораскоит  $Na_2MgSO_4F$ , евсеевит  $Na_2MgAsO_4F$ ) и вершинами октаэдров (нефедовит  $Na_5Ca_4(PO_4)_4F$ ), а также кристаллические структуры с отдельными кластерами, которые можно рассматривать как некоторую исходную структурную единицу для дальнейшего формирования антиперовскитовых модулей (натрофосфат,  $Na_7(PO_4)_2F\cdot 19H_2O$ ) [5–9].

Отдельно отметим так называемые "разорванные" ("broken") антиперовскиты [5, 10-20], особенность кристаллической структуры которых заключается в чередовании катион- и анион-центрированных модулей разной топологии. Анион-центрированные модули могут быть представлены отдельными изолированными октаэдрами (группа задовита: задовит BaCa<sub>6</sub>[(SiO<sub>4</sub>)  $(PO_4)](PO_4)_{2}F$ , арадит  $BaCa_6[(SiO_4)(VO_4)](VO_4)_{2}F$ , стрэчерит  $BaCa_6(SiO_4)_2[(PO_4)(CO_3)]F)$  или тримерами связанных гранями анион-центрированных октаэдров (группа арктита: арктит (Na<sub>5</sub>Ca)  $Ca_6Ba(PO_4)_6F_3$ , ариегилатит  $BaCa_{12}(SiO_4)_4(PO_4)_2F_2O$ , набимусаит  $KCa_{12}(SiO_4)_4(SO_4)_2O_2F$ , даргаит  $BaCa_{12}(SiO_4)_4(SO_4)_2O_3$ , крюгерит  $BaCa_6(SiO_4)_2[(P_{0.5}S_{0.5})O_4]_2F)$ . Кристаллическая структура араваита  $Ba_2Ca_{18}(SiO_4)_6[(PO_4)_3(CO_3)]F_3O$ (надгруппа арктита) образована в результате упорядоченного переслаивания модулей типа задовита и арктита (рис. 2). В случае группы арктита анион-центрированные модули расположены перпендикулярно катион-центрированным слоям. Кроме того, встречаются кристаллические структуры, где эти модули (цепочки анион-центрированных октаэдров, связанных общими гранями) расположены параллельно катион-центрированным модулям (квадруфит  $Na_{14}CaMgTi_{4}[Si_{2}O_{7}]_{2}[PO_{4}]_{4}O_{4}F_{2}$ , полифит  $Na_{17}Ca_3Mg(Ti,Mn)_4[Si_2\tilde{O}_7]_2[PO_4]_6O_2F_6$ , соболевит  $Na_{13}Ca_{2}Mn_{2}Ti_{3}(Si_{2}O_{7})_{2}(PO_{4})_{4}O_{3}F_{3}).$ 

Повышенный интерес к неорганическим соединениям с антиперовскитовым типом структуры, как и к перовскитам, определяется не только их структурными особенностями и многообразием, но и возможностью применения в современных технологиях, например в производстве твердотельных батарей или топливных ячеек [21, 22]. Кроме того, помимо сверхпроводимости [23, 24] некоторые антиперовскиты проявляют такие свойства, как магнитокалорический эффект [25, 26], гигантское магнетосопротивление [27, 28], люминесцентные [29, 30], а также нелинейно-оптические свойства [31] и отрицательное термическое расширение [32, 33].

Природные антиперовскиты крайне интересны в плане генезиса. Необходимо отметить



**Рис. 2.** Проекции на плоскость (010) кристаллических структур: стрэчерита  $BaCa_{12}(SiO_4)_4(PO_4)_2F_2O$  (группа задовита) (а); араваита  $BaCa_{12}(SiO_4)_4(PO_4)_2F_2O$  (б); ариегилатита  $BaCa_{12}(SiO_4)_4(PO_4)_2F_2O$  (группа арктита) (в). Пунктирной линией показаны анион-центрированные модули.

многообразие геохимических обстановок, в которых они могут встречаться. Это щелочные комплексы [10, 34—38], соляные озера [39, 40], фумаролы [7], пирометаморфические породы [12—20], а также метеориты [6]. Большая часть "разорванных" антиперовскитов была описана в последнее время в пирометаморфических породах формации Хатрурим, последний из которых — крюгерит  $\text{BaCa}_6(\text{SiO}_4)_2[(P_{0.5}\text{S}_{0.5})\text{O}_4]_2\text{F}$  (krügerite) — утвержден в 2024 г. [15].

Все минералы, а также синтетические соединения о которых пойдет речь в настоящем обзоре, помимо "разорванных" антиперовскитов, могут быть описаны общей формулой  $A_m X_n (TO_4)_k$ , где n < m,  $A = \text{Na}^+$ ,  $\text{K}^+$ ,  $\text{Rb}^+$ ,  $\text{Ca}^{2+}$ ,  $\text{Mg}^{2+}$ ;  $X = \text{F}^-$ ,  $\text{Cl}^-$ ;  $T = \text{P}^{5+}$ ,  $\text{S}^{6+}$ . "Дополнительные" анионы X не входят в состав кислотных остатков и не связаны с катионами T [5].

В обзоре представлены результаты изучения термического поведения природных антиперовскитов и их аналогов (сульфатов и фосфатов), к которым относятся синтетический аналог минерала когаркоита  $Na_3SO_4F$ , галеит  $Na_{15}(SO_4)_5ClF_4$ , шайрерит  $Na_{21}(SO_4)_7ClF_6$ , накафит  $Na_2CaPO_4F$  и его синтетический диморф, нефедовит  $Na_5Ca_4(PO_4)_4F$ , синтетические аналоги мораскоита  $Na_2MgPO_4F$  и арктита  $(Na_5Ca)Ca_6Ba(PO_4)_6F_3$ , а также два синтетических сульфата —  $K_3SO_4F$  и  $Rb_3SO_4F$ . Приведены данные о термической устойчивости соединений, фазовых переходах, уточнении кристаллических

структур низко- и высокотемпературных модификаций (при необходимости), коэффициентах термического расширения; выведены некоторые общие закономерности термического поведения в зависимости от типа кристаллической структуры.

### 1. ОБРАЗЦЫ И МЕТОДЫ

Синтетические аналоги минералов с антиперовскитовыми структурами могут быть получены или методом выпаривания из водного раствора при комнатной температуре, или с использованием метода твердофазного синтеза при температурах 700— 850°С. Методики синтеза Na<sub>2</sub>CaPO<sub>4</sub>F, Rb<sub>3</sub>SO<sub>4</sub>F, a также аналога когаркоита Na<sub>3</sub>SO<sub>4</sub>F подробно описаны в [41, 42, 44]. Для получения мораскоита в стехиометрических количествах были взяты гидрофосфат натрия Na<sub>2</sub>HPO<sub>4</sub> (XЧ), нитрат магния  $Mg(NO_3)_2$  (XЧ), а также фторид натрия NaF (XЧ), для получения арктита – гидрофосфат натрия  $Na_2HPO_4$  (XЧ), фторид натрия NaF (XЧ), фторид кальция Са F2 (ХЧ), а также фосфат кальция  $Ca_3(PO_4)_2$  (XЧ). Эксперименты по синтезу обоих соединений были проведены в муфельной печи при следующих условиях: нагрев в течение 1 ч до 800°C, после чего температуру поддерживали на постоянном уровне в течение 2 ч и снижали до комнатной температуры в течение 48 ч. Синтез  $K_3SO_4F$  описан в [45].

Галеит и шайрерит из отложений озера Серлс (Сан-Бернардино, США) были получены из

коллекции А.В. Касаткина. Кристаллы накафита и нефедовита из микроклин-пектолит-содалитэгириновых жил г. Коашва (Хибинский щелочной массив) были отобраны из образцов коллекции В.Н. Яковенчука. В качестве двух основных методов анализа термического поведения антиперовскитов использовали порошковую терморентгенографию (порошковый дифрактомер Rigaku Ultima IV с высокотемпературной приставкой SHT-1500, 40 кВ/30 мА,  $CoK_{\alpha_{1+2}}$ -излучение, в случае когаркоита и накафита —  $CuK_{\alpha_{1+2}}$ -излучение) и монокристальные рентгеноструктурные исследования, которые проводили на дифрактометрах Rigaku XtaLab Synergy-S (Rigaku Oxford Diffraction,  $MoK_{\alpha}$ -излучение, 50 кB/1.0 мA, нагрев с помощью системы Hot Air gas blower) и Bruker APEX II DUO (Мо $K_{\alpha}$ -излучение, 50 кВ/0.6 мА, система Oxford Cobra Plus, съемку когаркоита проводили при 25, 150°С). Выбор методики исследования был связан в первую очередь с количеством исследуемого образца, а также с возможностью отбора монокристаллов хорошего качества. Использование рентгеноструктурного анализа позволило изучить изменения длин связей в кристаллических структурах части соединений при увеличении температуры (галеит, шайрерит, нефедовит,  $K_3SO_4F$ ,  $Rb_3SO_4F$ ). При измерениях вводили поправку на тепловые колебания атомов [46]. Важно отметить, что описанные методы взаимодополняющие и при возможности использовались оба, как, например, в случае нефедовита. Решение и уточнение кристаллических структур соединений было выполнено с помощью программного комплекса SHELX [47], интегрированного в оболочку Olex2 [48]. Для расчета коэффициентов термического расширения использовали комплекс программ ТТТ [49]. Кристаллические структуры визуализировали при помощи программы VESTA3 [50].

### 2. ТЕРМИЧЕСКОЕ ПОВЕДЕНИЕ НЕКОТОРЫХ СУЛЬФАТОВ И ФОСФАТОВ С АНТИПЕРОВСКИТОВЫМ ТИПОМ СТРУКТУРЫ

## 2.1. Антиперовскиты с "классическим" каркасом на примере $K_3SO_4F$ и $Rb_3SO_4F$

Согласно [2] среди всех топологических типов антиперовскитов в настоящее время выделяют 18 разновидностей каркасов. Если рассматривать "идеальный" связанный вершинами каркас с кубической симметрией  $Pm\overline{3}m$ , то он может претерпевать искажения, вызванные разворотами октаэдров относительно трех взаимно перпендикулярных кристаллографических осей. Такое искажение, также свойственное классическим перовскитам, описывается с помощью буквенных обозначений, а также знаков "+", "—" и "0", определяющих синфазность, антифазность или отсутствие разворотов [51].

Соединения  $K_3SO_4F$  и  $Rb_3SO_4F$  кристаллизуются в тетрагональной сингонии и относятся к

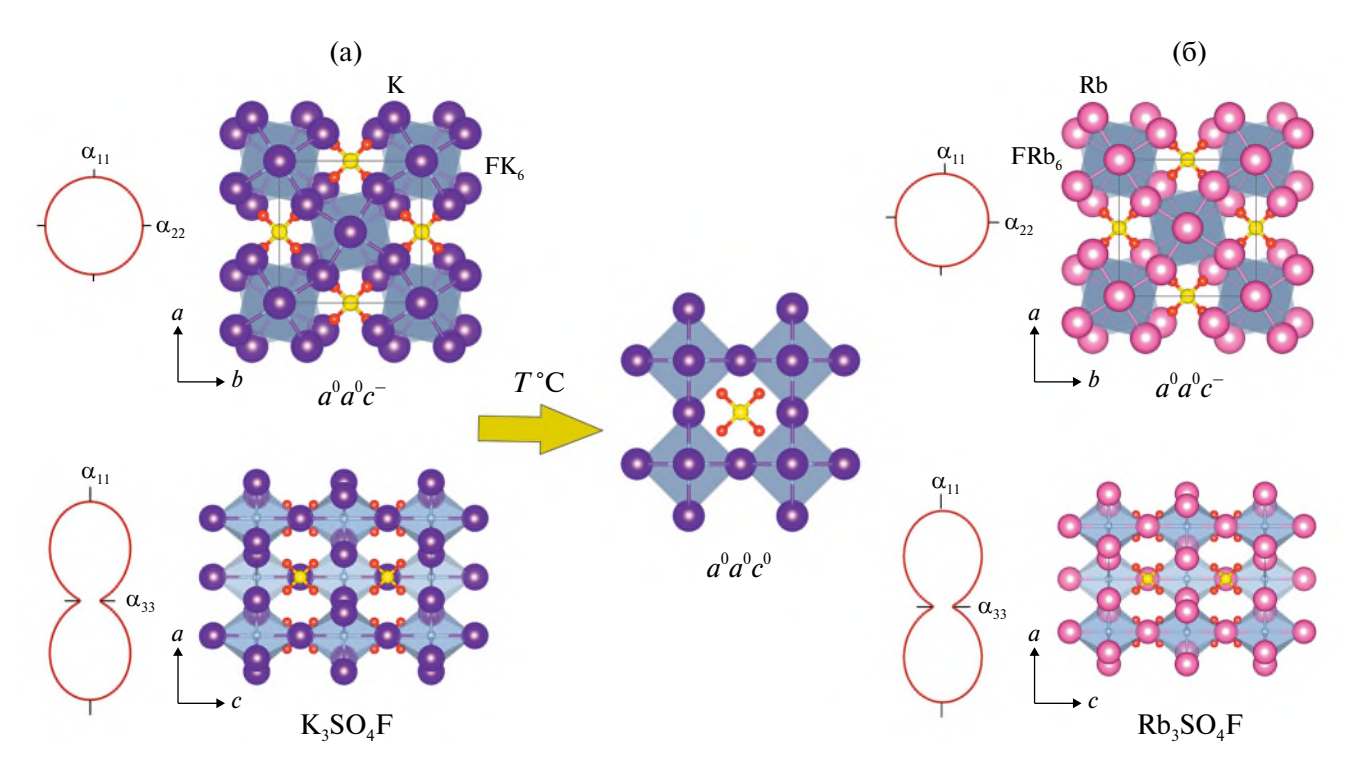
структурному типу  $Cs_3(CoCl_4)Cl$  ( $K_3SO_4F$ : I4/mcm, a=7.2970(1), c=10.816(2) Å, V=575.91(15) Å $^3$  (27°C);  $Rb_3SO_4F$ : I4/mcm, a=7.6347(3), c=11.2957(8) Å, V=658.41(7) Å $^3$  (27°C)). Понижение симметрии относительно "идеального" кубического каркаса определяется разворотом каждого второго октаэдра в цепочке в направлении [001], при этом в направлении a и b цепочки ориентированы одинаково. Согласно классификации данный тип каркаса может быть определен как  $a^0a^0c^-$ .

Несмотря на изоструктурность и схожесть термического поведения, только одно из двух соединений претерпевает фазовый переход второго рода, связанный с изменением ориентации октаэдров в каркасе, что, вероятнее всего, определяется температурой плавления данных соединений (K<sub>3</sub>SO<sub>4</sub>F: 727°C, Rb<sub>3</sub>SO<sub>4</sub>F: 377°C). Так, описанный в [45] фазовый переход в кристаллической структуре К<sub>3</sub>SO<sub>4</sub>F происходит при температуре около 585°C (527-627°С (по нашим данным)) и приводит к образованию высокотемпературной кубической модификации с "идеальным" каркасом  $a^0a^0a^0$  $(Pm\overline{3}m, a = 5.4304(1) \text{ Å}, V = 160.14(5) \text{ Å}^3)$ . Переход сопровождается относительным приростом длины связи  $\langle F-K2 \rangle$ , располагающейся в плоскости ab, более чем на 2%. В то же время изменение длины связи <F-K1> в направлении [001] составляет менее 1%. Такая же тенденция наблюдается в случае  $Rb_3SO_4F: \Delta < F - Rb1 > = 0.9\% (27 - 377^{\circ}C); \Delta < F - Rb2 > =$ =1.9% (27-377°С). В обоих соединениях наблюдается постепенное увеличение угла между полиэдрами F-K2-F и F-Rb2-F, который стремится к 180°. Термическое расширение обоих соединений сильно анизотропно: максимальное расширение наблюдается в плоскости ab:  $\alpha_{11}=65.5(1)\times 10^{-6}$ ,  $\alpha_{33}=6.81\times 10^{-6}$ ,  $\alpha_V=137.2\times 10^{-6}$  °C $^{-1}$  (K $_3$ SO $_4$ F, тетрагональная модификация);  $\alpha_{11} = 58.2(2) \times 10^{-6}$ ,  $\alpha_{33} = 6.06(5) \times 10^{-6}$ ,  $\alpha_{V} = 122.4(5) \times 10^{-6}$  °C<sup>-1</sup> (Rb<sub>3</sub>SO<sub>4</sub>F) (рис. 3) [42].

### 2.2. Антиперовскиты с гексагональным 3D-каркасом (когаркоит, галеит, шайрерит)

Помимо "классических" каркасов, в которых все анион-центрированные октаэдры связаны общими вершинами, существуют так называемые гексагональные антиперовскиты (обратный аналог гексагональных перовскитов). Классическим примером антиперовскитов с гексагональным каркасом являются три сульфата натрия с дополнительными анионами F и Cl — когаркоит  $Na_3SO_4F$ , галеит  $Na_{15}(SO_4)_5ClF_4$  и шайрерит  $Na_{21}(SO_4)_7ClF_6$ ; сюда можно отнести и  $\gamma$ -модификацию  $Na_2CaPO_4F$ , о которой речь пойдет в следующем разделе.

Когаркоит описан впервые в щелочных породах Ловоозерского массива и назван "бесхлористым шайреритом". Техногенный аналог когаркоита обнаружен в качестве одной из основных фаз в резервуарах с высокощелочными ядерными отходами



**Рис. 3.** Кристаллические структуры низко- и высокотемпературной модификаций  $K_3SO_4F$  (а) и  $Rb_3SO_4F$  (б) в проекциях на плоскости (010) и (001) и коэффициенты термического расширения для обоих соединений.

на территории Хэндфорского комплекса (США) [43]. Для исследования термического поведения использовали синтетический аналог когаркоита. Первые находки шайрерита и галеита относятся к соляному озеру Серлс (Сан-Бернардино, США).

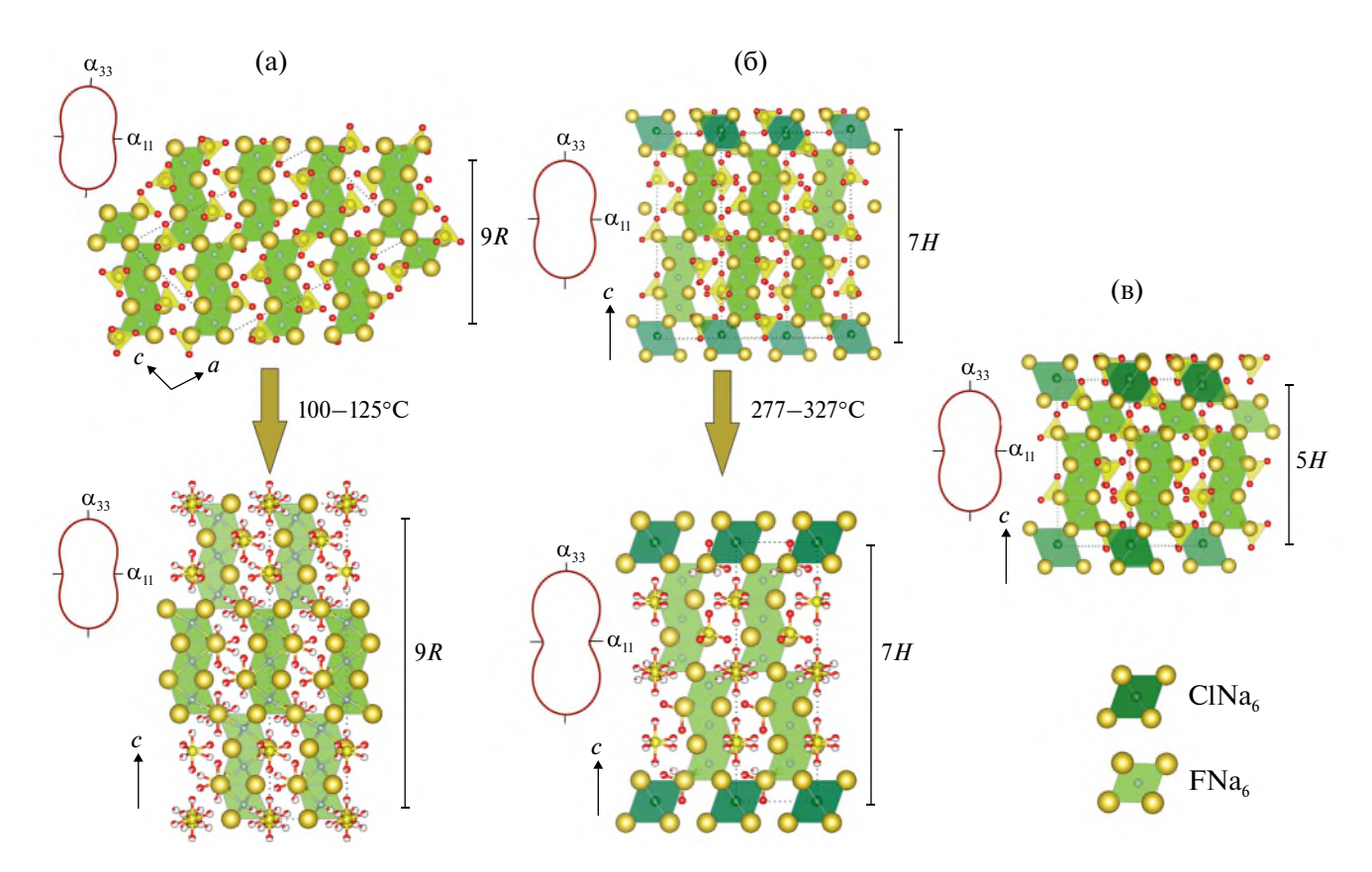
Кристаллическую структуру всех трех соединений можно рассматривать в аспекте политипии, относя их к антиперовскитовым политипам 5H (галеит), 7H (шайрерит) и 9R (когаркоит). В общем виде кристаллическая структура может быть представлена как классический антиперовскитовый каркас, но со вставками фрагментов гексагональной плотнейшей упаковки, которая представлена октаэдрами  $[FNa_6]$ , объединенными общими гранями.

Когаркоит кристаллизуется в моноклинной сингонии  $(P2_1/m, a=18.065(3), b=6.958(1), c=11.446(1)$  Å,  $\beta=107.711(1)^\circ$ , V=1370.5(4) Å<sup>3</sup>, Z=12), и в основе его структуры — каркас, состоящий из связанных общими вершинами тримеров анион-центрированных октаэдров (рис. 4а). Тримеры образованы тремя октаэдрами [FNa<sub>6</sub>], сочлененными по граням. Интересно отметить, что эти же тримеры присутствуют в структурах двух других минералов, однако в случае галеита (P31m, a=12.1903(2), c=13.9454(2) Å, V=1794.69(6) Å<sup>3</sup>, Z=3) и шайрерита (P31m, a=12.1859(3), c=19.3080(6) Å, V=2483.04(14) Å<sup>3</sup>, Z=3) они чередуются с изолированными СІ-центрированными октаэдрами и F-центрированными октаэдрами

(галеит), которые связаны с тримерами общими вершинами (рис. 46, 4в).

Когаркоит и шайрерит в процессе нагрева претерпевают обратимые фазовые переходы типа "порядок—беспорядок", сопровождающиеся сильным позиционным разупорядочением тетраэдров  $SO_4$ . В случае когаркоита переход происходит при температуре  $112.5 \pm 12.5$ °C (высокотемпературная фаза:  $R\overline{3}m$ , a=6.939(9), c=24.58(4) Å, V=1024.96(3) ų, Z=9), а в случае шайрерита при температуре 277-327°C (высокотемпературная фаза):  $P\overline{3}m1$ , a=7.0714(2), c=19.5972(7) Å, V=848.66(6) ų, Z=1). Общая топология кристаллической структуры в обоих случаях остается неизменной. Галеит фазовых переходов не претерпевает и теряет свою кристалличность при 327°C [44, 52].

Все три минерала демонстрируют крайне схожую картину термического поведения — проявляется сильная анизотропия, причем максимальное термическое расширение наблюдается в направлении модулей связанных гранями F-центрированных октаэдров (табл. 1). Этот факт подтверждается значительным приростом длин связей в октаэдрах  $[FNa_6]$  по сравнению с октаэдрами  $[FCl_6]$  при увеличении температуры. Отсутствие фазовых переходов в галеите, вероятнее всего, определяется его низкой термической стабильностью по сравнению с шайреритом, которая связана с другим соотношением F/Cl в кристаллической структуре (рис. 4).



**Рис. 4.** Кристаллические структуры низко- и высокотемпературной модификаций когаркоита (а), шайрерита (б), галеита (в) и коэффициенты термического расширения.

**Таблица 1.** Коэффициенты термического расширения (КТР) для модификаций когаркоита, шайрерита и галента

KTP*, 10 <sup>6</sup> °C <sup>−1</sup>	Когаркоит (Н.Т.)	Когаркоит (В.Т.)	Шайрерит (Н.Т.)	Шайрерит (В.Т.)	Галеит
$\alpha_{11}$	21.9	23.6	18.5	20.5	19.4
$\alpha_{22}$	22.7	$\alpha_{11}$	$\alpha_{11}$	$\alpha_{11}$	$lpha_{11}$
$\alpha_{33}$	44.2	58.2	42.4	63.4	42.9
$\alpha_V$	88.8	105.4	79.3	104.3	81.8
$\mu c_1$	38				
$\alpha_{\rm max}/\alpha_{\rm min}$	2.02	2.47	2.29	3.09	2.21

<sup>\*</sup>Линейную аппроксимацию температурной зависимости параметров элементарной ячейки проводили для обеих модификаций когаркоита. В случае шайрерита и галеита использован полином второй степени для параметра c: в случае шайрерита (низкотемпературная модификация (H.T.)) и галеита данные приведены для  $25^{\circ}$ С, в случае шайрерита (высокотемпературная модификация (B.T.)) — для  $327^{\circ}$ С.

## 2.3. Антиперовскиты с цепочками связанных гранями октаэдров (накафит и его синтетический диморф, мораскоит)

Среди антиперовскитов можно выделить шесть топологических видов цепочек [2]. Наиболее широко распространены цепочки, в которых анион-центрированные октаэдры связаны общими гранями. Этот тип кристаллических структур также рассматривают в аспекте политипии: их

относят к 2H-политипу. Среди неорганических соединений такие цепочки, например, присутствуют в галогенидах и ауридах щелочных металлов с дополнительным анионом кислорода с общей формулой  $M_3$ OX (M = K, Rb, Cs; X = Cl, Br, I, O), оксидфторидах, некоторых нитридах и субнитридах (LiBa<sub>5</sub>N, LiBa<sub>3</sub>N, LiBa<sub>2</sub>N, NaBa<sub>3</sub>N, Cr<sub>3</sub>GeN и других соединениях) [2, 53]. Классическими примерами минералов с цепочками подобного типа являются

мораскоит  $Na_2MgPO_4F$ , накафит  $Na_2CaPO_4F$  и недавно открытый евсеевит  $Na_2MgAsO_4F$ , который не рассматривается в настоящем обзоре, так как относится к классу арсенатов [7].

Мораскоит (Pbcn, a=5.2117(10), b=13.711(3), c=11.665(2) Å, V=833.6(3) Å<sup>3</sup>, Z=8) впервые был описан в троилит-графитовых включениях в железном метеорите Мораско (Познань, Польша), в то время как накафит ( $P2_1/c$ , a=13.3185(14), b=7.0964(8), c=10.6490(14) Å,  $\beta=113.526(1)^\circ$ , V=922.81(17) Å<sup>3</sup>, Z=8) является типичным минералом щелочных комплексов (Хибинский щелочной массив, Кольский полуостров, Россия) [6,36,55].

В рамках изучения термического поведения исследовали синтетический аналог мораскоита. накафит и его синтетический диморф. Было обнаружено, что существуют еще по крайней мере две полиморфные модификации Na<sub>2</sub>CaPO<sub>4</sub>F помимо самого минерала накафита (α-фаза). Одна из них – β-фаза — является высокотемпературной модификацией природного накафита (Pnma, a = 5.4123(1), b = 7.1196(1), c = 12.3171(1) Å, V = 474.62(1) Å<sup>3</sup>, Z = 4), а также низкотемпературной модификацией синтетического  $Na_{2}CaPO_{4}F$  (*Pnma*, a = 5.3542 (1),  $b = 7.0878(2), c = 12.2560(3) \text{ Å}, V = 465.11(3) \text{ Å}^3$ Z = 4). Для удобства обозначим природную фазу как  $\beta'$ . Фазовый переход  $\alpha \to \beta'$  для накафита происходит в температурном интервале 330-360°C, относится к типу "порядок-беспорядок" и является обратимым. Две модификации различаются степенью упорядочения Са/Nа-позиций. В кристаллической структуре α-фазы все позиции полностью заселены и упорядочены, выделяются четыре независимые позиции Na и две позиции Ca. В случае в'-фазы в кристаллической структуре присутствуют две независимые позиции, одна из которых полностью заселена Na, а другая смешанная: 0.5Ca + 0.5Na. Интересно, что степень упорядочения β- и в'-фаз также различна: в синтетической β-фазе обе позиции смешанные с преобладанием Na (0.67Na + 0.33Ca). И  $\alpha$ -, и  $\beta$ -модификации относятся к антиперовскитовому 2H-политипу.

При температуре  $640^{\circ}$ С в случае синтетического  $Na_2CaPO_4F$   $\beta$ -фаза теряет свою кристалличность и при  $640-720^{\circ}$ С переходит в новую  $\gamma$ -фазу ( $R\overline{3}m$ , a=7.0272(3), c=40.609(2) Å, V=1736.66(18) Å<sup>3</sup>, Z=15), которая устойчива до  $800^{\circ}$ С. В ее структуре присутствуют три независимые смешанные позиции Na/Ca: две позиции -0.62Na+0.38Ca и одна -0.92Na+0.08Ca. Отметим, что эта фаза была известна ранее и описана в [56], однако уточнена в пр. гр. R3m. Фазовый переход необратим и носит реконструктивный характер, что отражается в изменении топологии кристаллической структуры по сравнению с низкотемпературной модификацией. Если в случае  $\alpha$ - и  $\beta$ - ( $\beta$ ')-модификаций в основе кристаллической структуры лежат цепочки,

**Таблица 2.** Коэффициенты термического расширения (КТР) для трех полиморфных модификаций  $Na_2CaPO_4F$ , а также для мораскоита по данным порошковой терморентгенографии

KTP*, 10 <sup>6</sup> °C <sup>-1</sup>	Na <sub>2</sub> CaPO <sub>4</sub> F				Мораскоит,	
K11 , 10 C	α	β΄	β	γ	$Na_2MgPO_4F$	
$\alpha_{11}$	15.0	38.0	39.9	14.7	20.3	
$\alpha_{22}$	14.0	15.0	15.4	$\alpha_{11}$	15.3	
$\alpha_{33}$	26.0	15.0	15.7	46.1	15.6	
$\alpha_V$	56.0	69.0	71.2	75.5	51.2	
$\mu c_1$	88					
$\alpha_{max}/\alpha_{min}$	1.86	2.53	2.59	3.14	1.32	

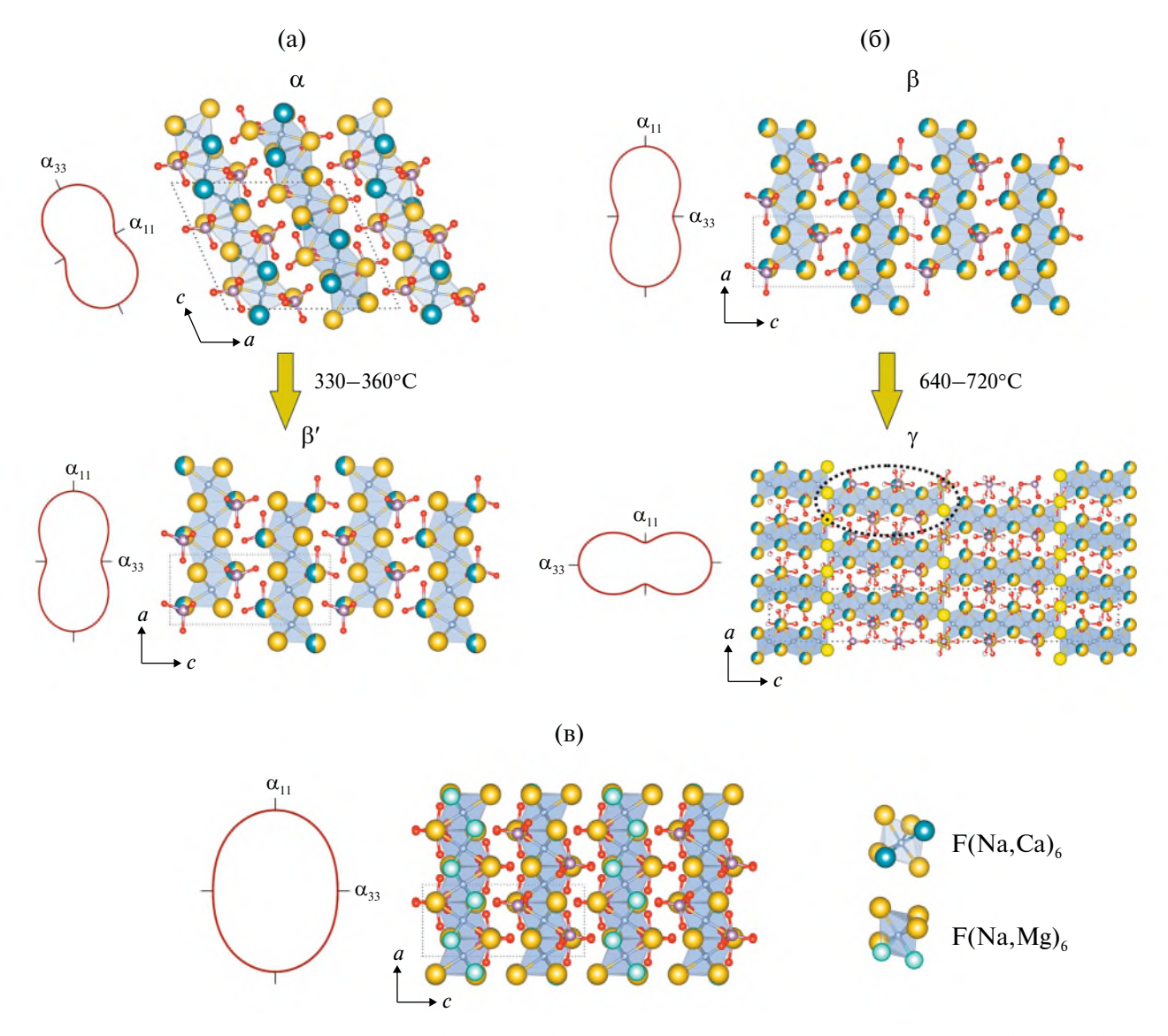
\*Линейную аппроксимацию температурной зависимости параметров элементарной ячейки проводили для  $\alpha$ -,  $\beta$ -фази мораскоита. В случае  $\gamma$ -фазы использовали полином второй степени для параметра c, данные приведены для  $600^{\circ}$ С.

состоящие из связанных общими гранями [F(Ca/ Na)<sub>6</sub>] октаэдров, то в случае у-фазы анион-центрированные октаэдры образуют каркас, состоящий из пентамеров, связанных общими вершинами. Каждый пентамер представляет собой пять F-центрированных октаэдров, связанных последовательно противоположными гранями (транс-ориентация). Таким образом, формируется антиперовскитовый 15R-политип. Наблюдается некоторое разупорядочение тетраэдров РО, при переходе к γ-фазе (в случае α- и β-модификаций позиции атомов кислорода вокруг позиций атома фосфора полностью заселены и упорядочены). Мораскоит в отличие от накафита и его синтетического диморфа не претерпевает фазовых переходов и теряет свою кристалличность при температуре 600°C.

Анализ линейных коэффициентов термического расширения трех модификаций  $Na_2CaPO_4F$ , а также мораскоита  $Na_2MgPO_4F$  показывает, что характер термического расширения крайне схож — он носит анизотропный характер. Максимальное термическое расширение параллельно модулям F-центрированных октаэдров (в случае  $\alpha$ - и  $\beta$ - $Na_2CaPO_4F$ , а также в случае мораскоита) и пентамерам  $\gamma$ -фазы (рис. 5). Максимально анизотропия проявляется в случае  $\gamma$ - $Na_2CaPO_4F$  и минимально в случае мораскоита, что, вероятнее всего, определяется не только структурной топологией, но и химическим составом, а именно размерами катионов (табл. 2).

## 2.4. Антиперовскиты с цепочками связанных вершинами октаэдров (нефедовит)

Цепочки связанных вершинами анион-центрированных октаэдров распространены в кристаллических структурах минералов и неорганических соединений не так широко, как связанные гранями,



**Рис. 5.** Кристаллические структуры полиморфных модификаций  $Na_2CaPO_4F$  в проекции на плоскость (010) (а, б) и мораскоита (в), а также коэффициенты термического расширения.

однако их можно обнаружить в некоторых уранил-силикатах, германатах и арсенатах [2]. Среди минералов цепочки, состоящие из октаэдров. связанных общими транс-вершинами, наблюдаются в нефедовите  $Na_5Ca_4(PO_4)_4F$  — типичном минерале ультраагпаитовых пегматитов Хибинского щелочного массива. Нефедовит кристаллизуется в тетрагональной сингонии ( $I\overline{4}$ , a = 11.6560(2),  $c = 5.4062(2) \text{ Å}, V = 734.50(2) \text{ Å}^3, Z = 2). \text{ B ocho-}$ ве цепочек лежат F-центрированные октаэдры  $[FCa_4Na_2]^{9+}$ , между которыми располагаются тетраэдры PO<sub>4</sub>, а также катионы Na<sup>+</sup>, не задействованные в формировании анион-центрированных октаэдров. Кристаллическая структура нефедовита стабильна до температуры 727°C. Термическое поведение минерала значительно отличается от термического поведения соединений со связанными гранями анион-центрированными структурными

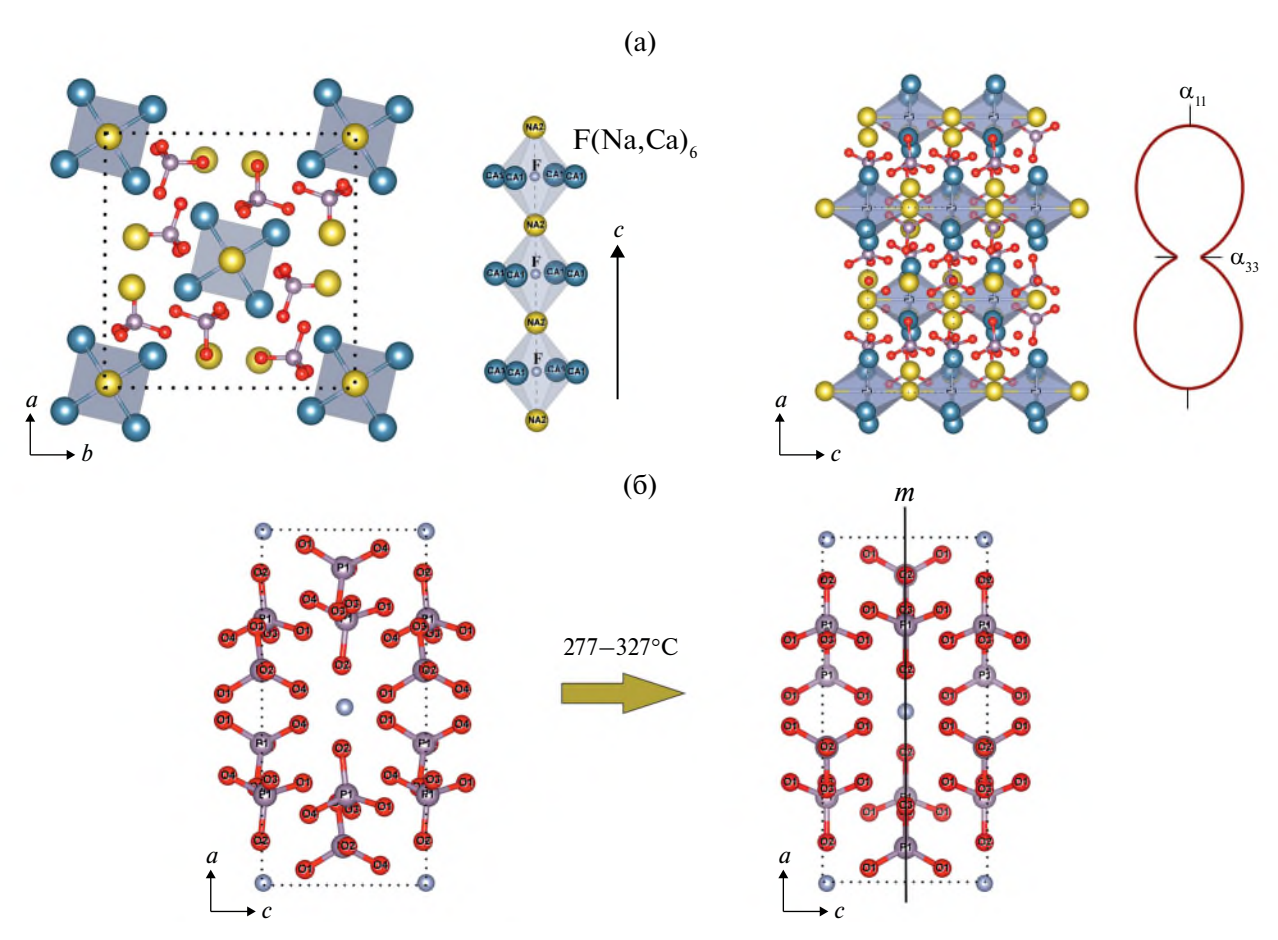
модулями, в которых распространены переходы типа "порядок-беспорядок", сопровождающиеся повышением симметрии, изменением параметров элементарной ячейки и максимальным термическим расширением, проявляющимся вдоль этих модулей. В случае нефедовита обнаружено, что при температуре 277-327°C происходит фазовый переход смещения, не сопровождающийся значительным увеличением параметров элементарной ячейки, но приводящий к смене нецентросимметричной группы  $I\overline{4}$  на центросимметричную I4/m $(a = 11.7856(2), c = 5.4158(2) \text{ Å}, V = 752.26(4) \text{ Å}^3,$ Z = 2). При повышении температуры происходит вращение тетраэдров РО4 вокруг инверсионной оси  $\overline{4}$  таким образом, что перпендикулярно направлению [001] возникает плоскость зеркального отражения т. Коэффициенты термического расширения нефедовита отражают сильную

анизотропию ( $\alpha_{11}=27.8(2)\times 10^{-6},$   $\alpha_{33}=4.5(3)\times 10^{-6},$   $\alpha_V=60.1(1)\times 10^{-6}$  °C $^{-1}$  по данным порошковой терморентгенографии), причем термическое расширение максимально не в направлении, параллельном анион-центрированным цепочкам, как это было ранее, а перпендикулярно им. Минимальное термическое расширение наблюдается вдоль этих цепочек (что характерно для цепочечных структур), что можно объяснить большим расстоянием F-F между двумя октаэдрами и, как следствие, уменьшением силы отталкивания между соседними анионами (рис. 6). Такой характер термического расширения подтверждается анализом изменения длин связей с увеличением температуры: практически неизменной остается связь Na-F, параллельная оси c, в то же время длины связей Na/Ca-F и Na-O, расположенных в плоскости ab, увеличиваются на ~2-2.5% [8].

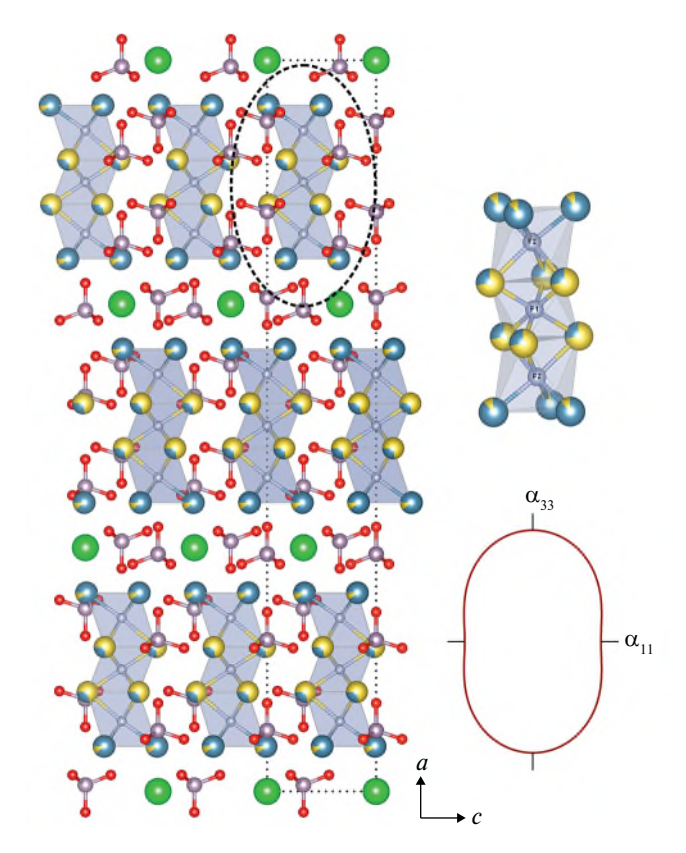
### 2.5. Арктит ("разорванный" антиперовскит)

Как было отмечено выше, под "разорванными" антиперовскитами понимают такие соединения, в которых катион- и анион-центрированные модули чередуются между собой. Все описанные антиперовскиты формации Хатрурим (за исключением

араваита) подразделяются на две группы (арктита и задовита) и относятся к надгруппе арктита. Что интересно, сам арктит  $(Na_5Ca)Ca_6Ba(PO_4)_6F_3$  связан не с пирометаморфическими породами, а с щелочными комплексами и достаточно распространен в породах Хибинского щелочного массива. Арктит кристаллизуется в тригональной сингонии ( $R\overline{3}m$ ,  $a = 7.0821(2), c = 41.1812(1) \text{ Å}, V = 1788.75(11) \text{ Å}^3$ и в основе его структуры лежат изолированные тримеры из F-центрированных октаэдров  $[F(Na/Ca)_6]$ , между которыми располагаются слои, образованные катионами Ba<sup>2+</sup> и тетраэдрами PO<sub>4</sub>. Тримеры можно рассматривать как составную часть структур, относящихся к 2H- и 15R-политипам, описанных выше для Na<sub>2</sub>CaPO<sub>4</sub>F и синтетического аналога мораскоита Na<sub>2</sub>MgPO<sub>4</sub>F. Важно отметить, что для изучения термического поведения использовали не сам арктит, а его синтетический аналог, кристаллическая структура которого имеет незначительные отличия, связанные со степенью упорядочения Са/Nа-позиций. Так, в случае природного образца одна из катионных позиций полностью заселена Са, в то время как другая — смешанная с преобладанием Na (0.83 Na + 0.17 Ca). В случае



**Рис. 6.** Кристаллическая структура нефедовита в проекции на плоскости (001) и (010), коэффициенты тензора термического расширения (а), разворот тетраэдров в кристаллической структуре нефедовита (б).



**Рис. 7.** Кристаллическая структура арктита в проекции на плоскость (010) и коэффициенты термического расширения. Пунктирной линий показан тример анион-центрированных октаэдров.

синтетического аналога обе позиции смешанные (0.89Ca + 0.11Na, 0.27Ca + 0.73Na).

Изучение термического поведения синтетического аналога арктита показало, что он теряет свою кристалличность при 727–827°С и не претерпевает фазовых переходов в процессе нагрева. Кристаллическая решетка арктита расширяется анизотропно, однако анизотропия не такая сильная, как в случае  $Na_2CaPO_4F$ , но в то же время сильнее, чем в случае мораскоита ( $\alpha_{max}/\alpha_{min}=1.64$ ). Максимальное термическое расширение, как и в случае других соединений, проявляется в направлении модулей анион-центрированных октаэдров, связанных общими гранями:  $\alpha_{11}=13.5(2)\times10^{-6}$ ,  $\alpha_{33}=24.2(3)\times10^{-6}$ ,  $\alpha_V=51.2(7)\times10^{-6}$  °C $^{-1}$  по данным порошковой терморентгенографии (рис. 7).

### 3. ОБЩИЕ ЗАКОНОМЕРНОСТИ ТЕРМИЧЕСКОГО ПОВЕДЕНИЯ

В настоящем обзоре проанализированы основные аспекты термического поведения природных сульфатов и фосфатов с антиперовскитовым типом структуры и их аналогов, а также некоторых синтетических соединений. Полученные данные не затрагивают в полной мере все вероятные

структурные типы, описанные для антиперовскитов, однако позволяют сделать некоторые предварительные выводы на основе полученных экспериментальных результатов.

Для "классического" антиперовскитового каркаса с симметрией  $Pm\overline{3}m$  типичны термически индуцированные переходы второго рода со смешением. Они обратимы и связаны с взаимным разворотом соединенных вершинами октаэдров в антиперовскитовом каркасе. Анализ длин связей и углов при изменении температуры указывает на изменение угла между полиэдрами, отвечающего за выравнивание (при повышении температуры) или, наоборот, искажение [57] (при понижении температуры) цепочек октаэдров вдоль трех кристаллографических осей. Этим же обусловлена сильная анизотропия теплового расширения, наблюдаемая, например, в соединениях K<sub>3</sub>SO<sub>4</sub>F и Rb<sub>3</sub>SO<sub>4</sub>F. В случае Rb<sub>3</sub>SO<sub>4</sub>F отсутствие такого перехода связано, по всей видимости, с его невысокой термической устойчивостью [42, 45].

Для остальных описанных в обзоре соединений можно сделать вывод о том, что их термическое расширение в большей степени определяется типом связывания анион-центрированных октаэдров. Так, связанные гранями октаэдры [F(Ca/Na/Mg)<sub>6</sub>], выявленные в кристаллических структурах когаркоита  $Na_2CaPO_4F$  ( $\alpha$ -,  $\beta$ -,  $\gamma$ -фазы), мораскоита, шайрерита, галеита и арктита, - наиболее гибкие (растяжимые) структурные единицы. Во всех рассмотренных соединениях максимальное термическое расширение реализуется в направлении, параллельном векторам анион-анион вдоль грани, общей для двух соседних октаэдров. Это верно как для цепочек, так и для фрагментов каркаса, представляющих собой тримеры или пентамеры, и подтверждено для части соединений при анализе изменений длин связей A–F, где  $A = Na^+$ , Са<sup>2+</sup>, при повышении температуры. Степень анизотропии теплового расширения определяется, по всей видимости, размером катиона, задействованного в образовании связи А-F, что подтверждает сравнение значений  $\alpha_{max}/\alpha_{min}$  для накафита и мораскоита.

В случае объединения октаэдров общими вершинами (на примере кристаллической структуры нефедовита) картина термического расширения кардинально отличается, и цепочки связанных вершинами октаэдров — наоборот, наиболее прочные структурные единицы. Расстояние между анионами  $F^-$  значительно больше, чем в случае связывания по граням. Например, расстояние  $F^-F$  между двумя октаэдрами в кристаллической структуре нефедовита (25°C) составляет 5.406(1) Å, в то время как в кристаллической структуре накафита (25°C)  $Na_2CaPO_4F$  ( $\alpha$ -фаза) оно примерно в 2 раза меньше и равно 2.675(2) Å [8, 55].

Относительные изменения длин связей в сульфатных и фосфатных тетраэдрах (в тех случаях, когда их удалось проанализировать [8, 42, 52]) незначительны и остаются в рамках погрешности. При повышении температуры в некоторых структурах наблюдается разупорядочение тетраэдров, что выражается в образовании целой серии частично заселенных позиций атомов кислорода вокруг позиций атомов S/P. В случае когаркоита и шайрерита это приводит к обратимым фазовым переходам типа "порядок—беспорядок".

Открытым остается вопрос, связанный с термическим расширением в кристаллических структурах "разорванных" антиперовскитов. Расчет коэффициентов термического расширения арктита подтвердил факт максимального расширения вдоль модулей связанных гранями октаэдров. Однако нельзя с уверенностью утверждать, что подобное термическое расширение будет проявляться и в других минералах группы арктита, так как для каждого минерала необходимо отдельно оценивать вклад катион-центрированного модуля в термическое расширение.

В целом в работе описаны шесть полиморфных переходов - три перехода типа "порядок-беспорядок" (накафит, когаркоит, шайрерит), переходы со смещением, связанные с разворотом полиэдров (нефедовит, К<sub>3</sub>SO<sub>4</sub>F), а также реконструктивный необратимый переход ( $\beta \rightarrow \gamma$  для Na<sub>2</sub>CaPO<sub>4</sub>F), сопровождающийся разупорядочением тетраэдров РО<sub>4</sub>, что суммарно приводит к значительному изменению структурной топологии и переходу от 2*H*- $\kappa$  15R-политипу. Все описанные переходы можно рассмотреть в аспекте структурно-информационной сложности, которая подробно представлена в [58-60]. Информационно-теоретический анализ структурной сложности Na<sub>2</sub>CaPO<sub>4</sub>F указывает на возможный метастабильный характер β-полиморфа, что хорошо согласуется с соотношениями структурной сложности, степенями порядка, физической и информационной плотностями всех трех фаз. Кроме того, в случае накафита наличие фазового перехода объясняет тот факт, что данному минералу свойственно полисинтетическое двойникование [36]. Если кристаллизация минерала происходит при температурах выше 330°C, то дальнейшее охлаждение приводит к фазовому переходу из ромбической фазы в моноклинную и появлению полисинтетических двойников.

Высокотемпературные модификации когаркоита, галеита и нефедовита имеют более высокую симметрию, но в то же время структурно проще, и их физическая плотность меньше, что хорошо согласуется с общими принципами высокотемпературной кристаллохимии, а также концепцией структурной сложности [8, 44, 52, 61].

### ЗАКЛЮЧЕНИЕ

В рамках обзора рассмотрены некоторые примеры термического поведения фосфатов и сульфатов с

антиперовскитовым типом структуры, относящихся к "классическим" каркасным, гексагональным каркасным, цепочечным, а также "разорванным" антиперовскитам. На основе полученных данных выведены общие закономерности их температурного поведения. Представляет интерес продолжение подобных исследований и их распространение на более широкие вариации химического состава и структурной топологии для формирования общих выводов по термической эволюции антиперовскитов.

Авторы выражают благодарность А.В. Касаткину и В.Н. Яковенчуку за предоставление образцов минералов для исследований, а также рецензентам за ценные замечания и рекомендации. Исследования проведены с использованием оборудования РЦ "РДМИ" Научного парка Санкт-Петербургского государственного университета.

Исследование выполнено за счет гранта Российского научного фонда № 22-77-00042, https://rscf.ru/project/22-77-00042/.

### СПИСОК ЛИТЕРАТУРЫ

- Sabrowsky A.A., Sitta S., Hippler K. et al. // Acta Cryst. C. 1990. V. 46. P. 736. https://doi.org/10.1107/S010827018900990X
- Krivovichev S.V. // Coord. Chem. Rev. 2024. V. 498.
  P. 215484. https://doi.org/10.1016/j.ccr.2023.215484
- 3. Hidden W.E., Mackintosh J.B. // Am. J. Sci. 1888. V. 36. P. 463.
- 4. *Pabst A.* // Z. Kristallogr. 1934. B. 89. S. 514. https://doi.org/10.1524/zkri.1934.89.1.514
- 5. *Krivovichev S.V.* // Z. Kristallogr. 2008. V. 223. P. 109. https://doi.org/10.1524/zkri.2008.0008
- Karwowski Ł., Kusz J., Muszyński A. et al. // Mineral. Mag. 2015. V. 79 (2). P. 387. https://doi.org/10.1180/minmag.2015.079.2.16
- 7. *Pekov I.V., Zubkova N.V., Agakhanov A.A. et al.* // Mineral. Mag. 2023. V. 87 (6). P. 839. https://doi.org/10.1180/mgm.2023.50
- 8. *Avdontceva M.S.*, *Shablinskii A.P.*, *Krzhizhanovska-ya M.G. et al.* // Phys. Chem. Miner. 2024. V. 51 (2). 13. https://doi.org/10.1007/s00269-024-01276-7
- 9. Avdontceva M.S., Krivovichev S.V., Yakovenchuk V.N. // Minerals. 2021. V. 11 (2). P. 186. https://doi.org/10.3390/min11020186
- 10. *Khomyakov A.P.*, *Bykova A.V.*, *Kurova T.A.* // Int. Geol. Rev. 1983. V. 25 (6). P. 739. https://doi.org/10.1080/00206818309466761
- 11. Sokolova E.V., Yamnova N.A., Egorov-Tismenko Y.K. et al. // Sov. Phys. Dokl. 1984. V. 29. P. 5.
- 12. *Galuskin E.V., Krüger B., Galuskina I.O. et al.* // Minerals. 2018. V. 8 (3). P. 109. https://doi.org/10.3390/min8030109
- 13. *Galuskina I.O.*, *Gfeller F.*, *Galuskin E. et al.* // Mineral. Mag. 2019. V. 83 (1). P. 81. https://doi.org/10.1180/minmag.2017.081.095

- 14. *Galuskin E.V., Gfeller F., Armbruster T. et al.* // Mineral. Mag. 2015. V. 79 (5). P. 1061. https://doi.org/10.1180/minmag.2015.079.5.03
- Galuskin E.V., Cametti G., Galuskina I.O. et al. // Mineral. Mag. 2024. CNMNC Newsletter 79. Eur. J. Mineral. 36. https://doi.org/10.5194/ejm-36-525-2024
- Galuskin E.V., Gfeller F., Galuskina I.O. et al. // Mineral. Mag. 2015. V. 79 (5). P. 1073. https://doi.org/10.1180/minmag.2015.079.5.04
- 17. *Galuskin E.V., Gfeller F., Galuskina I.O. et al.* // Mineral. Mag. 2017. V. 81 (3). P. 499. https://doi.org/10.1180/minmag.2016.080.105
- Galuskin E.V., Krüger B., Galuskina I.O. et al. // Am. Mineral. 2018. V. 103 (10). P. 1699. https://doi.org/10.2138/am-2018-6493
- 19. *Krüger B., Krüger H., Galuskin E.V. et al.* // Acta Cryst. B. 2018. V. 74 (6). P. 492. https://doi.org/10.1107/s2052520618012271
- Galuskin E.V., Galuskina I.O., Krüger H. et al. // Can. Mineral. 2021. V. 59 (1). P. 191. https://doi.org/10.3749/canmin.2000035
- Xia W., Zhao Y., Zhao F. et al. // Chem. Rev. 2022.
  V. 122 (3). P. 3763. https://doi.org/10.1021/acs.chemrev.1c00594
- Rasaki S.A., Chen Z., Thomas T. et al. // Mater. Res. Bull. 2021. V. 133. 111014. https://doi.org/10.1016/j.materresbull.2020.111014
- 23. *Hoffmann N., Cerqueira T.F.T., Schmidt J. et al.* // Npj. Comput Mater. 2022. V. 8. P. 150. https://doi.org/10.1038/s41524-022-00817-4
- Iyo A., Hase I., Fujiihisa H. et al. // Inorg. Chem. 2021. V. 60 (23). P. 18017. https://doi.org/10.1021/acs.inorgchem.1c02604
- Zang B., Liu X., Kan X. et al. // Mater. Today Commun. 2023. V. 34. 105063. https://doi.org/10.1016/j.mtcomm.2022.105063
- Kiecana A., Schaefers W., Thijs et al. // J. Magn. Magn. Mater. 2023. V. 577. 170782. https://doi.org/10.1016/j.jmmm.2023.170782
- 27. *Wang B.S., Tong Y.P., Sun L.J. et al.* // Appl. Phys. Lett. 2009. V. 95. 222509. https://doi.org/10.1063/1.3268786
- Li C.C., Wang B.S., Lin S. et al. // J. Magn. Magn. Mater. 2021. V. 323 (17). P. 2223. https://doi.org/10.1016/j.jmmm.2011.03.038
- Sullivan E., Avdeev M., Blom D.A. et al. // J. Solid State Chem. 2015. V. 230. P. 279. https://doi.org/10.1016/j.jssc.2015.07.018
- Zhao S., Liao S., Qiu Z. et al. // Ceram. Int. 2023.
  V. 49 (7). P. 11285. https://doi.org/10.1016/j.ceramint.2022.11.327
- 31. *Li M., Zhang X., Xiong Z. et al.* // Angew. Chem. Int. Ed. 2022. V. 61 (42). E202211151. https://doi.org/10.1002/anie.202211151
- 32. *Takenaka K., Asano M., Misawa H. et al.* // Appl. Phys. Lett. V. 92. P. 011927. https://doi.org/10.1063/1.2831715

- 33. *Tan S., Gao C., Wang C. et al.* // Dalton Trans. 2020. V. 49. P. 10407. https://doi.org/10.1039/D0DT02221G
- 34. *Хомяков А.П., Нечелюстов Г.Н., Дорохова Г.И. //* Зап. Рос. минерал. о-ва. 1983. Т. 112. № 4. С. 479.
- 35. *Когарко Л.Н.* // Докл. АН СССР. 1961. Т. 139. № 2. С. 435.
- 36. *Хомяков А.П., Казакова М.Е., Пущаровский Д.Ю.* // Зап. Рос. минерал. о-ва. 1980. Т. 109. № 1. С. 50.
- 37. *Хомяков А.П., Нечелюстов Г.Н., Соколова Е.А. и др. //* Зап. Рос. минерал. о-ва. 1992. Т. 121. № 1. С. 105.
- 38. *Хомяков А.П., Курова Т.А., Чистякова Н.* // Зап. Рос. минерал. о-ва. 1983. Т. 112. С. 456.
- 39. *Pabst A., Sawyer D.L., Switzer G.* // Am. Mineral. 1955. V. 66. P. 1658.
- 40. Foshag W.F. // Am. Mineral. 1931. V. 16. P. 133.
- 41. Avdontceva M.S., Krzhizhanovskaya M.G., Krivovichev S.V. et al. // J. Solid State Chem. 2023. V. 319. 123779. https://doi.org/10.1016/j.jssc.2022.123779
- 42. *Авдонцева М.С., Золотарев А.А., Кривовичев С.В.* // Физика и химия стекла. Т. 50. № 2. С. 214. https://doi.org/10.31857/S0132665124020098
- 43. *Bolling S.D., Reynolds J.G., Ely T.M. et al.* // J. Radioanal. Nucl. Chem. 2019. V. 323. P. 329. https://doi.org/10.1007/s10967-019-06924-9
- 44. Avdontceva M.S., Zolotarev A.A., Krivovichev S.V. // J. Solid State Chem. 2015. V. 231. P. 42. https://doi.org/10.1016/j.jssc.2015.07.033
- 45. *Skakle J.M.S., Fletcher J.G., West A.R.* // J. Chem Soc. Dalton Trans. 1996. V. 12. P. 2497. https://doi.org/10.1039/DT9960002497
- 46. *Downs R.T.* // Rev. Mineral. Geochem. 2000. V. 41. P. 61. https://doi.org/10.2138/rmg.2000.41.3
- 47. *Sheldrick G.M.* // Acta Cryst. C. 2015. V. 71. P. 3. https://doi.org/10.1107/S2053229614024218
- 48. *Dolomanov O.V., Bourhis L.J., Gildea R.J. et al.* // Appl. Cryst. 2009. V. 42. P. 339. http://dx.doi.org/10.1107/S0021889808042726
- 49. *Бубнова Р.С., Фирсова В.А., Филатов С.К.* // Физика и химия стекла. 2013. Т. 39. № 3. С. 347.
- 50. *Momma K., Izumi F.* // Appl. Cryst. 2011. V. 44. P. 1272. http://dx.doi.org/10.1107/S0021889811038970
- 51. *Glazer A.M.* // Acta Cryst. B. 1972. V. 28. P. 3384. https://doi.org/10.1107/S0567740872007976
- 52. Avdontceva M.S., Zolotarev A.A., Shablinskii A.P. et al. // Symmetry. 2023. V. 15 (10). P. 1871. https://doi.org/10.3390/sym15101871
- 53. *Albrecht R., Menning H., Doert T. et al.* // Acta Cryst. E. 2020. V. 76 (10). P. 1638. https://doi.org/10.1107/S2056989020012359
- 54. Avdontceva M.S., Krzhizhanovskaya M.G., Krivovichev S.V. et al. // Phys. Chem. Miner. 2015. V. 42. P. 671. https://doi.org/10.1007/s00269-015-0753-x
- 55. *Krivovichev S.V., Yakovenchuk V.N., Ivanyuk G.Yu. et al.* // Can. Mineral. 2007. V. 45 (4). P. 915. https://doi.org/10.2113/gscanmin.45.4.915

- 56. *Sokolova E., Kabalov Yu.K., Ferraris G. et al.* // Can. Mineral. 1999. V. 37 (1). P. 83.
- Nuss J., Mühle K., Hayama V. et al. // Acta Cryst. B. 2015. V. 71. P. 300. https://doi.org/10.1107/S2052520615006150
- 58. *Krivovichev S.V.* // Mineral. Mag. 2013. V. 77. P. 275. https://doi.org/10.1180/minmag.2013.077.3.05
- 59. *Krivovichev S.V.* // Angew. Chem. Int. Ed. 2014. V. 53. P. 654. https://doi.org/10.1002/anie.201304374
- 60. *Krivovichev S.V., Krivovichev V.G., Hazen R.M. et al.* // Mineral. Mag. 2022. V. 86. P. 183. https://doi.org/10.1180/mgm.2022.23
- 61. *Филатов С.К.* // Кристаллография. 2011. Т. 56. С. 1019.

# THERMAL EVOLUTION OF PHOSPHATES AND SULFATES WITN AN ANTIPEROVSKITE-TYPE STRUCTURE: THERMAL EXPANSION AND PHASE TRANSITIONS

M. S. Avdontceva<sup>a,\*</sup>, A. A. Zolotarev<sup>a</sup>, M. G. Krzhizhanovskaya<sup>a</sup>, S.V. Krivovichev <sup>a,b</sup>

<sup>a</sup>St. Petersburg State University, St. Petersburg, Russia <sup>b</sup>Kola Science Centre RAS, Apatity, Russia \*e-mail: m.avdontceva@spbu.ru

**Abstract.** In this study, we present an investigation of the thermal behavior of natural and synthetic phosphates and sulfates with an antiperovskite-type structure, where the anion-centered octahedron is the main structural unit. We discuss examples of the thermal behavior of antiperovskites with classical and hexagonal 3D frameworks ( $K_3SO_4F$ ,  $Rb_3SO_4F$ , synthetic analogue of kogarkoite  $Na_3SO_4F$ , galeite  $Na_{15}(SO_4)_5ClF_4$ , schairerite  $Na_{21}(SO_4)_7ClF_6$ ); with one-dimensional (1D) chains of corner- and face-sharing octahedra (nacaphite  $Na_2CaPO_4F$  and its synthetic dimorph, synthetic analogue of moraskoite  $Na_2CaPO_4F$ , nefedovite  $Na_5Ca_4(PO_4)_4F$ ); and with clusters represented by trimers of anion-centered octahedra (synthetic analogue of arctite ( $Na_5Ca_3Ca_6Ba(PO_4)_6F_3$ ). Based on the obtained data, some general patterns were identified, depending on the structural topology and thermal stability of antiperovskites.